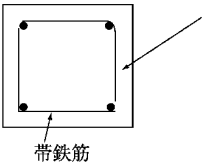
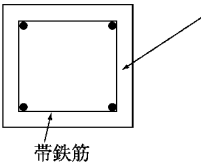
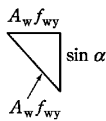
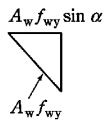


地盤工学・実務シリーズ13 地盤・基礎構造物の耐震設計

頁	行 (↑↓)	誤	正
31	図-2.5	地盤	地殻 (たてがきのもの)
79	表-3.1 太田・後藤 (1978) の行 に追加		D : 深さ (m)
79	表-3.1 今井 (1977) の行	$V_S = aN_b$	$V_S = aN^b$
79	表-3.1 大阪地盤 (1978) の行	$V_S = aN_b$	$V_S = aN^b$
83	↓1	ベッディングエラー	ベディングエラー
86	図-3.9	履歴減衰保数	履歴減衰定数
96	(式 3.29)	f_t	f_b
97	図-3.14	ϵ_{co}'	ϵ_{co}' ('の位置と 0 (ゼロ) と o (オー) との違い)
97	図3.14(b)	$\epsilon_{co}' = 0.0035$	$\epsilon_{cu}' = 0.0035$
103	図-3.20		
105	図-3.23		
106	↓10-11	単位は mm	単位は m
106	↓11	P_w	p_w (大文字と小文字の違い)
186	図-4.20	PNu: 基礎前面の水平地盤反力度の上限値 (KN/m ²)	PNu: 基礎前面の水平地盤反力度の上限値 (kN/m ²)
188	図-4.22	水平変位 K_h	水平震度 K_h
294	図-6.13(a)	平板形 PC セグメント	平板形 RC セグメント
294	図-6.13(b)	手座金	平座金
296	↓6	剛性一ような弾性リング	剛性一様な弾性リング
297	(式 6.4)	$(EI)_{eq} = \frac{\cos^3 \phi}{\cos \phi + (\pi/2 + \phi) \sin \phi} E_s I_s$	$(EI)_{eq} = \frac{\cos^3 \phi}{\cos \phi + (\pi/2 + \phi) \sin \phi} E_s I_s$
298	↓8	受動抵抗	受働抵抗
300	↓6	地盤のせん断一次振動	地盤のせん断一次振動
300	↓7	1/4 正弦波状に変形モード	1/4 正弦波状の変形モード
300	図-6.14(b)	空洞部分の FEW モデル	空洞部分の FEM モデル
383	(式 8.27)	$C_N = \sqrt{10/\sigma'_z}$	$C_N = \sqrt{10/\sigma'_z}$ (σ'_z : kN/m ²)
369	表-8.3	$M_{max} = \frac{Q}{2\beta} \cdot \exp \left[-\tan^{-1} \left(1 - \frac{1}{1-\alpha_r} \right) \right] \sqrt{(1-\alpha_r)^2 + 1}$	$M_{max} = \frac{Q}{2\beta} \cdot \exp \left[-\tan^{-1} \left(\frac{1}{1-\alpha_r} \right) \right] \sqrt{(1-\alpha_r)^2 + 1}$
450	↓11	(式 10.6) の (式 10.6,) (式 10.7) に	(式 10.6), (式 10.7) に